Aura 1

## Стороженко Ольга Анатольевна

Домино-реакции цианометильных производных в синтезе хроменов, аннелированных с имидазопиридиновым или изохинолиновым фрагментами

(02.00.03-органическая химия)

## АВТОРЕФЕРАТ

диссертации на соискание ученой степени кандидата химических наук

Москва

Работа выполнена кафедре органической химии факультета физикона математических и естественных наук Федерального государственного автономного образовательного учреждения высшего профессионального образования «Российский университет дружбы народов»

Научный руководитель:

Воскресенский Леонид Геннадьевич доктор химических наук, профессор РАН

Официальные оппоненты:

Анаников Валентин Павлович член-корреспондент РАН доктор химических наук, профессор ФГБУН Институт органической химии им. Зелинского Российской академии наук

#### Белоглазкина Елена Кимовна

Brown!

Доктор химических наук, профессор кафедры органической химии Химического ФГОУ факультета BO Московский государственный университет им. Ломоносова

Ведущая организация:

Федеральное государственное бюджетное образовательное учреждение высшего образования «Уфимский государственный нефтяной технический университет» (УГНТУ)

Защита диссертации состоится «21» мая 2019 г. в 15 час. 30 мин. на заседании Совета по защите докторских и кандидатских диссертаций Д 212.203.11 при Российском университете дружбы народов по адресу: 117923, Москва, ул. Орджоникидзе, д. 3, зал №2.

C можно ознакомиться в Учебно-научном диссертацией информационном библиографическом центре Российского университета дружбы народов по адресу: 117198, Москва, ул. Миклухо-Маклая, д. 6.

Автореферат разослан « »\_\_\_\_\_2019 года.

Ученый секретарь диссертационного совета кандидат химических наук, доцент

В. В. Курилкин

### Общая характеристика работы

Актуальность темы. Домино-реакции, в том числе мультикомпонентные, позволяют осуществлять эффективный синтез органических соединений, экономя время, растворители и сорбенты, необходимые для выделения промежуточных веществ. Такие процессы широко используются для получения природных соединений и их аналогов, веществ, обладающих полезной биологической активностью или ценными физическими свойствами, а создание новых домино- и мультикомпонентных реакций является актуальным направлением исследований. В настоящей работе изучаются реакции о-гидроксибензальдегидов с различными цианометильными производными, приводящие к образованию нескольких гетероциклических колец в одну синтетическую стадию. Получаемые соединения имеют несколько фармакофорных групп — 2-аминохроменовый и имидазо[1,2-а]пиридиновый циклы, или флуорофорный изохинолинаминовый фрагмент, что делает интересным изучение их свойств. Работа выполнена в соответствии с планом НИР Российского университета дружбы народов и поддержана грантом РФФИ 18-33-00536.

## **Цели и задачи работы** состояли в следующем:

- 1) Изучить домино-взаимодействие N-цианометильных солей изомерных азаиндолов и тиенопиридинов с o-гидроксибензальдегидами.
- 2) Разработать подход к синтезу 12-замещенных хроменоимидазопиридинов на основе последовательной трехкомпонентной реакции *N*-цианометильных пиридиниевых солей, *о*-гидроксибензальдегидов и различных нуклеофилов.
- 3) Оценить возможность использования гомофталонитрила в качестве винилога малононитрила в мультикомпонентных реакциях, изучить трехкомпонентные превращения гомофталонитрила с *о*-гидроксибензальдегидами и нитрометаном.

### Научная новизна работы.

Все полученные в рамках диссертационного исследования результаты являются новыми и не имеют аналогов в литературе. Впервые получены хроменоимидазолы, конденсированные с изомерными тиенопиридиновым или пирролопиридиновым кольцами, в TOM числе. включающие гетероциклический скелет природного соединения изогранулатимида С. Разработан подход к введению заместителя в положение С(12) хроменоимидазопиридиновой основе новой последовательной системы на трехкомпонентной реакции с окислительным шагом. Показано, что гомофталонитрил может рассматриваться как винилог малононитрила и использоваться в мультикомпонентных реакциях с о-гидроксибензальдегидом и нуклеофилом для аннелирования изохинолинового цикла к хроменовому.

<u>Практическая значимость работы.</u> Синтезирован ряд новых полигетероциклических соединений, содержащих востребованные медицинской химией

фармакофорные фрагменты 2-аминохромена и имидазо[1,2-*а*]пиридина. Среди них обнаружены вещества с ярко выраженной цитотоксической активностью по отношению к раковым клеткам HEP-G2 и КВ. Ряд хроменоизохинолинаминов с индольным заместителем при С(12) обладает флуоресцентными свойствами (квантовые выходы 40-71%). При этом обнаружено полное обратимое гашение флуоресценции в кислой среде.

Апробация работы. Результаты работы докладывались на Зимней конференции молодых ученых по органической химии (16 – 21 января 2016 г, Красновидово, Россия), І Всероссийской молодежной школе-конференции "Успехи синтеза и комплексообразования" (Москва, 25 – 28 апреля 2016 г), Dombay organic conference cluster DOCC-2016 (Домбай, 29 мая – 04 июня 2016), The Fourth International Scientific Conference "Advances in Synthesis and Complexing" (Москва, 24 – 28 апреля 2017), Всероссийской научной конференции с международным участием «Современные проблемы органической химии», посвященной 110-летию со дня рождения академика Николая Николаевича Ворожцова (Новосибирск, 5 – 9 июня 2017 г), 26<sup>th</sup> International Society of Heterocyclic Compounds Congress (Регенсбург, Германия, 03 – 08 Сентября 2017), XII International Scientific Conference of postgraduates, masters and young researchers on "ACTUAL PROBLEMS OF CHEMİSTRY" dedicated to 95th anniversary of National Lider HEYDAR ALIYEV (Баку, Азербайджан, 3 – 4 мая 2018), II Всероссийской школе-конференции, посвященной 100-летию Иркутского государственного университета и 85-летию химического факультета ИГУ (24 – 28 сентября 2018 г, Иркутск).

<u>Публикации</u>: По теме диссертации опубликовано 5 статей в реферируемых журналах и 7 тезисов докладов на конференциях.

Объем и структура диссертации. Диссертационная работа изложена на 171 странице машинописного текста и состоит из введения, обзора литературных данных, обсуждения полученных результатов, экспериментальной части, выводов и списка цитируемой литературы, включающего 122 наименования; содержит 133 схемы, 8 таблиц и 9 рисунков.

### Основное содержание работы

## 1. Превращения *N*-цианометильных солей изомерных азаиндолов и тиенопиридинов с *о*-гидроксибензальдегидами

Ранее на кафедре органической химии РУДН был разработан подход к синтезу хроменоимидазоизохинолинов I на основе домино-реакции N-(цианометил)изохинолиния с o-гидроксибензальдегидами (Схема 1.1).

Схема 1.1

Было интересным изучить аналогичные превращения четвертичных цианометильных солей азаиндолов и тиенопиридинов.

Для этого из соответствующих азаиндолов нами были получены необходимые четвертичные соли **1a,b**, **2a,b**, **3** и **4** кипячением с хлор- или бромацетонитрилом в ацетонитриле или при микроволновом облучении для соединения **2a** (Схема 1.2) с высокими выходами.

Схема 1.2

\* реакция проводилась при микроволновом облучении при 140°C, в течении 30 минут, в закрытом сосуде

В качестве модельной реакции для подбора условий нами было выбрано взаимодействие соли **1a** с салициловым альдегидом. В результате было установлено, что использование 2-х экв. ацетата аммония в качестве основания при кипячении в этаноле в течение 3 часов оказалось наиболее эффективным. Далее нами были изучены границы применимости реакции, для чего использовались различные *о*-гидроксибензальдегиды, и был получен ряд соответствующих хроменоимидазопирролопиридинов **5a-d** и **6a-c** с выходами 24-57% (Схема 1.3). В процессе реакции продукты выпадали в осадок из реакционных

смесей и по окончании выделялись фильтрованием, промывание осадка этиловым спиртом в итоге давало чистые целевые соединения.

#### Схема 1.3

Полученные соединения были охарактеризованы спектрами ЯМР на ядрах <sup>1</sup>Н и <sup>13</sup>С, данными ИК-спектроскопии и масс-спектрометрии. Структура соединения **5а** достоверно установлена методом РСА (Рисунок 1.1).

Рисунок 1.1. Общий вид молекулы 5а в кристалле.

Предполагаемый механизм включает конденсацию Кневенагеля салицилового альдегида и четвертичной соли с последующей атакой фенолят-аниона по нитрилу и образованием иминиевого производного **B**, циклизация которого по пиридиновому кольцу и ароматизация имидазольного кольца завершают последовательность (Схема 1.3).

#### Схема 1.3

Взаимодействие соли 7-азаиндола **2a** с *о*-гидроксибензальдегидами в смеси МеОН-Н<sub>2</sub>О в присутствии ацетата аммония не привело к желаемым хроменоимидазопирролопиридинам **7**, результатом реакции оказались кумарил-производные **8a-c** (Схема 1.4), выделенные методом колоночной хроматографии. В спектрах ЯМР <sup>1</sup>Н соединений **8** отсутствовал характеристичный синглет метиленовой группы в области 4 м.д. и интегральной интенсивностью в 2H. Структура соединения **8a** подтверждена с помощью корреляционных ЯМР экспериментов: COSY, HSQC, HMBC, HMBC-LR, NOESY (Рисунок 1.2). Наличие кумаринового фрагмента также подтверждается данными масс-спектрометрии: масса молекулярного иона соответствует предложенной структуре.

Схема 1.4

**Рисунок 1.2.** Характеристичные корреляционные взаимодействия в 2D ЯМР спектрах соединения **8a**.

Во избежание депротонирования соли **2a** и образования ангидро-оснований и для протекания реакции по желаемому нам пути, приводящему к продуктам внутримолекулярной циклизации, вместо соли **2a** в реакции было решено использовать цианометильную соль 1-метил-7-азаиндола **2b**.

Взаимодействие соли **2b** с различными *о*-гидроксибензальдегидами в аналогичных условиях не привело к ожидаемому результату. Получить пентациклические производные не удалось, а продуктами реакции оказались кумарил-производные **9a-d** (Схема 1.5).

100 мол. % 
$$NH_4OAc$$
 Ме $OH-H_2O$  кипячение,  $3$ ч  $R=Me, X=Br$   $R^5$   $R^3$   $R=Me, X=Br$   $R^5$   $R^5$ 

В стремлении избежать процессов гидролиза были предприняты попытки проведения реакции в безводных условиях, в атмосфере аргона и в присутствии осущающих агентов, таких как молекулярные сита, безводный сульфат магния и безводный сульфат меди. В качестве растворителей использовались абсолютные метанол, этанол, изопропиловый спирт и ДМФА, а в качестве оснований – карбонат натрия, ацетат аммония и DBU. Тем не менее, даже в таких условиях были получены продукты гидролиза 9. Вероятно, воды, которая выделяется в результате конденсации Кнёвенагеля, оказывается достаточно для его протекания. Однако, проведение реакции при микроволновом облучении при температуре 150 °C в абсолютном этаноле с молекулярными ситами и безводным карбонатом калия в течение 10 минут в итоге привело к желаемым продуктам циклизации 10а-с с умеренными выходами (Схема 1.6). Невысокие выходы могут быть связаны с нестабильностью интермедиатов в условиях реакции, и уменьшение времени процесса при микроволновой активации может объяснить успешность данного подхода.

Схема 1.6

Оптимальные условия были использованы для осуществления аналогичных превращений солей 4- и 5-азаиндолов **3** и **4**. В результате были получены имидазопирролопиридины **11a-е** с выходом 70-87% и **12a-d** с выходом 44-57% (Схема 1.7). Образование соединений **11** оказалось не столь чувствительным к условиям реакции и к присутствию воды, так, например, продукт **11a** был получен с выходом 64% после 8 часов кипячения в смеси метанол-вода в присутствии ацетата аммония.

Структуры полученных соединений были подтверждены комплексом физикохимических методов, в том числе набором 2D ЯМР экспериментальных данных: COSY, HSQC, HMBC и NOESY.

Таким образом, нами была изучена домино реакция 4-, 5-, 6- и 7-азаиндолов с o-гидроксибензальдегидами в присутствие основания и было показано, что во всех случаях, за исключением соли незамещенного по N-1 7-азаиндола, происходит образование соответствующих хроменоимидазопирролопиридинов с выходами от умеренных до высоких.

## 2. Четвертичные N-цианометильные соли изомерных тиенопиридинов в домино реакции с o-гидроксибензальдегидами

Было интересным изучить аналогичные превращения *N*-цианометильных четвертичных солей тиенопиридинового ряда. Для этого исходные тиенопиридины, полученные по описанным методикам, превращали в соли действием хлорацетонитрила в ацетонитиле при кипячении в течение нескольких часов с высокими выходами (Схема 2.1).

Схема 2.1

Подбор условий проведения реакции соли **13** с салициловым альдегидом показал, что превращение протекает наиболее эффективно при использовании 2-х экв. NH<sub>4</sub>OAc в

качестве основания и смеси метанол-вода (1-2) в качестве растворителя при кипячении в течение 3 часов и дает выход желаемого продукта 84%. В реакции были опробованы различные *о*-гидроксибензальдегиды и был получен ряд соответствующих хроменоимидазотиенопиридинов **17а-g** (Схема 2.2). Во всех случаях целевые продукты выпадали в осадок в процессе реакции и выделялись фильтрованием.

Схема 2.2

Продуктами реакции соли **14** с различными *о*-гидроксибензальдегидами стали пентациклические хроменоимидазотиенопиридины **18a-d** (Схема 2.3).

Схема 2.3

Взаимодействие соли **15** с рядом *о*-гидроксибензальдегидов в присутствии двукратного избытка ацетата аммония в водно-метанольной среде привело к образованию хроменоимидазотиенопиридинов **19a-f** с высокими выходами (Схема 2.4).

Схема 2.4

Структура соединения **19а** дополнительно подтверждена с помощью метода РСА (Рисунок 2.1).

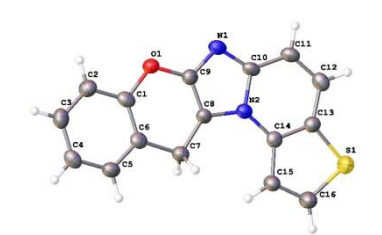


Рисунок 2.1. Общий вид молекулы 19а в кристалле.

Реакция соли изомерного тиено[2,3-*c*]пиридина **16** с серией *о*-гидроксибензальдегидов в аналогичных условиях также привела к пентациклическим хроменоимидазотиенопиридинам **20a-i** с высокими выходами (Схема 2.5).

Схема 2.5

Для ряда соединений были получены данные об антипролиферативной активности по отношению к HepG2 (клетки гепатоцеллюлярной карциномы человека) и KB (клетки карциномы полости рта) Таблица 2.1.

Таблица 2.1. Результаты исследования антипролиферативной активности.

№ соединения	IC <sub>50</sub> (μM)		№	IC <sub>50</sub> (μM)		№	IC <sub>50</sub> (μM)	
	KB	HepG2		KB	HepG2		KB	HepG2
5a	12.72	2.21	12c	63.13	77.59	17d	118.07	128
5b	9.0	10.66	12d	7.3	8.7	18a	23.15	32.82
5c	< 0.5	0.65	17a	36.42	53.50	18c	17.68	19.62
11d	3.55	11.02	17b	90.03	82.28	18d	38.47	37.52
12b	11.45	17.52	17c	12.44	8.25	19a	79.18	>128
Элиптицин	0.23	0.31						

## 3. Четвертичные азиниевые *N*-цианометильные соли, *o*-гидроксибензальдегиды и нуклеофильные агенты в домино реакции с окислительным шагом

Ранее было показано, что в превращениях N-цианометильных солей и салициловых альдегидов в качестве промежуточного соединения образуется 2-иминохромен  $\mathbf{B}$  (Схема 3.1). Принимая во внимание способность 2-иминохроменов выступать в качестве акцепторов Михаэля, мы решили расширить круг получаемых хроменоимидазопиридинов за счет нуклеофильного введения в положение C(4) пиранового кольца различных заместителей, с промежуточным образованием 2-аминохромена  $\mathbf{C}$ . Циклизация амина  $\mathbf{D}$  по пиридиновому кольцу дает  $\mathbf{E}$ , для ароматизации которого необходимо применение окислителя.

Схема 3.1

$$_{NuH}$$
  $_{Nu}$   $_{$ 

Для проверки разработанной концепции мы осуществили взаимодействие между салициловым альдегидом, *N*-(цианометил)пиридиний хлоридом 21 и нитрометаном в качестве нуклеофила в этаноле в присутствии триэтиламина в качестве основания в атмосфере воздуха в последовательном однореакторном режиме. Сначала четвертичную соль перемешивали с салициловым альдегидом в присутствии триэтиламина при 0°C в течение 30 минут, затем к реакционной массе добавляли нитрометан (10 экв.) и смесь кипятили в течение 2-х часов в открытом сосуде. В результате целевой продукт 22а был выделен в следовых количествах в смеси с соединением 23 (Схема 3.2). Нами было обнаружено, что проведение первого шага при охлаждении является обязательным для предотвращения внутримолекулярной циклизации 2-иминохромена 24 и образования продукта 23. Стоит отметить, что превращение соединения 24 в 23 представляет собой постоянную побочную реакцию в присутствии основания, происходящую со временем даже при комнатной процесс. Поскольку кислорода воздуха температуре и усложняющую недостаточно для обеспечения необходимой циклизации, мы приступили к поиску подходящего окислителя и оптимальных условий реакции. Наиболее эффективным оказалось проведение реакции в последовательном режиме с генерированием иминохромена **24** в присутсвтии 0.2 экв.  $Et_3N$  в течение 1ч при  $0^{\circ}C$  на первом этапе, и использование 10 экв. нитрометана, 3.8 экв. Et<sub>3</sub>N и 2 экв. Mn(OAc)<sub>3</sub>x2H<sub>2</sub>O на втором при кипячении в течение 2 ч.

Также, в результате проведения нескольких контрольных экспериментов было установлено, что образования продукта реакции не происходит без использования основания на втором шаге.

Схема 3.2

Для изучения границ применимости реакции нами были осуществлены превращения с различными *о*-гидроксибензальдегидами в оптимальных условиях, в результате были получены нитрометил-замещенные хроменоимидазопиридины **22a-h** (Схема 3.3).

Схема 3.3

Структуры соединений **22a-h** подтверждены комплексом физико-химических данных. Структура соединения **22a** дополнительно подтверждена комплексом 2D ЯМР экспериментов: COSY, HSQC, HMBC, NOESY.

Введение индольного фрагмента в хроменовое ядро представляет собой актуальную задачу, которая побудила нас исследовать возможность использования этого нуклеофила в обнаруженном процессе. Ранее оптимизированные условия для последовательной реакции хлорида *N*-(цианометил)пиридиния, *о*-гидроксибензальдегида и индола, давали желаемое соединение **25a** с хорошим выходом 77% (Схема 3.4, примечание а), в то время как реакция с *N*-метилиндолом в данных условиях приводила к образованию неразделимой смеси целевого соединения **25b** и продукта двухкомпонентной реакции **23** (Схема 3.4, примечание b), что

указывало на необходимость поиска более общих условий процесса. Для предотвращения образования побочного продукта **23** была предпринята попытка проведения второй стадии при охлаждении, однако в данных условиях (0°С) ацетат марганца оказался неэффективным. Использование КМпО<sub>4</sub> в качестве окислителя хотя и давало **25a** с несколько меньшим выходом (69%), но приводило к *N*-метилиндольному продукту **25b** с выходом 54% при проведении второго шага при 0°С в течение 5 дней (Схема 3.4, примечание с). Дальнейшее исследование границ реакции показало высокий синтетический потенциал превращения – был получен ряд индолил-замещенных продуктов **25i-j** (Схема 3.4).

Схема

3.4

1. 0.2 эквив. Et<sub>3</sub>N, 0°C, TFE, 1 ч
2. 3 эквив. индола, 1 эквив. КМпО<sub>4</sub>,
0.8 эквив. Et<sub>3</sub>N, кипячение, 1ч

21

25a-k

**25a**, 
$$R^1 = R^2 = R^3 = R^4 = R^5 = R^6 = H$$
,  $69\%$  (77%)<sup>a</sup>
**25b**,  $R^1 = R^2 = R^3 = R^4 = R^6 = H$ ,  $R^5 = Me$ ,  $54\%$  (-%)<sup>b</sup>
**25c**,  $R^1 = R^2 = R^3 = R^5 = R^6 = H$ ,  $R^4 = OEt$ ,  $44\%$ 
**25d**,  $R^1 = R^3 = R^4 = R^5 = R^6 = H$ ,  $R^2 = OMe$ ,  $70\%$ 
**25e**,  $R^1 = R^3 = R^4 = R^5 = R^6 = H$ ,  $R^2 = OMe$ ,  $70\%$ 
**25e**,  $R^1 = R^3 = R^4 = R^5 = R^6 = H$ ,  $R^2 = OMe$ ,  $70\%$ 
**25f**,  $R^1 = R^3 = R^4 = R^5 = R^6 = H$ ,  $R^2 = OMe$ ,  $70\%$ 
**25g**,  $R^1 = R^3 = R^4 = R^5 = R^6 = H$ ,  $R^2 = OMe$ ,  $80\%$ 
**25g**,  $80\%$ 

<sup>а</sup>2 экв Mn(OAc)<sub>3</sub>х2H<sub>2</sub>O было использовано на 2 шаге; <sup>в</sup>выделено в виде неразделимой смеси с соединением **23**; <sup>с</sup> вторая стадия проводилась при 0°C в течение 5 дней.

Строение соединений **25а-ј** подтверждено комплексом спектральных данных. Структура соединения **25а** подтверждена с помощью 2D ЯМР экспериментов: COSY, HSQC, HMBC, NOESY.

Для проверки общего характера превращения и, в первую очередь, используемого окислителя в данной реакции нами был исследован широкий круг нуклеофилов (Схема 3.5. Так, реакция с пирролом в качестве нуклеофильного компонента привела к целевому продукту 26а с 43% выходом. Выход же *N*-метилпиррол-замещенного производного 26b составил 23%. Данные реакции проводились при 0°С в течение 5 дней, т.к. при кипячении наблюдалось образование побочного продукта 23. Изомерные 5-,6- и 7-азаиндолы оказались эффективны в описываемом превращении соответствующие продукты 27, 28, 29 были получены с выходами 60, 53 и 49%. В случае использования 3-метокси- и 3,5-диметоксифенолов в спектрах ЯМР продуктов 30, 31 реакции наблюдался удвоенный набор сигналов для продукта реакции с 3-метоксифенолом и четырехкратный набор сигналов для 3,5-диметоксифенола. В спектрах LCMS присутствовали сигналы одного соединения. Вероятно, в данном случае образуется смесь регио-изомеров. Однако, возможно, сигналы

удваиваются за счет появления изомеров вращения относительно связи С-С между фенольным и пирановым циклами. *пара*-Замещенные 4-*трет*-бутил- и 4-изоппропилфенолы давали целевые продукты **32**, **33** однако, со значительно меньшим выходами 14 и 18%, соответственно. Интересно отметить, что такие π-избыточные азагетероциклы как пиразол и бензопиразол претерпевали присоединение по атому азота и давали *N*-производные **34**, **35** с выходами 56 и 37%. Структура соединения **26b** была подтверждена с помощью РСА (Рисунок 3.1).

Рисунок 3.1. Общий вид молекулы 26b в кристалле.

Схема 3.5

Возможность использования СН-кислот была продемонстрирована на диэтилмалонате, что привело к получению ряда хроменоимидазопиридинов **36a-g** (Схема 3.6). Использование избытка малонового эфира осложняло хроматографическое выделение целевых соединений из-за близкой подвижности на сорбенте. В результате небольшой оптимизации условий было установлено, что соединения **36** получаются с максимальным выходом при выдерживании раствора иминохромена **24** с одним эквивалентом малонового

эфира при 0°C в течение 2 дней, с последующим окислением перманганатом калия при комнатной температуре от 1 часа до суток.

Схема 3.6

В дополнение, нами было показано, что в данной реакции могут быть использованы соли 1-метил-6-азаиндола и тиено[2,3-c]пиридина **1a**, **14**. В результате был получен ряд соответствующих производных **37** – **40** (Схема 3.7).

Схема 3.7

## 4. Гомофталонитрил в синтезе 12H-хромено[2,3-c]изохинолин-5-аминов

Динитрилы широко применяются в органическом синтезе, среди них наиболее изучен малононитрил, который является универсальным компонентом множества мультикомпонентных реакций для получения 2-амино-4*H*-хроменов. Фрагмент винилога малонитрила содержится в гомофталонитриле, который может быть аналогично использован для создания аминоизохинолинового кольца, однако данное превращение до сих пор не было реализовано. Нашей целью стало изучение возможности использования гомофталонитрила в качестве динитрильной компоненты для создания мультикомпонентных реакций получения производных 2-амино-4*H*-хромена.

Так, нами было обнаружено, что кипячение o-гидроксибензальдегида с гомофталонитрилом **41** в спирте в присутствии карбоната натрия протекает как псевдо-

трехкомпонентная реакция, которая приводит к образованию хроменоизохинолинамина 42 с прекрасным выходом (Схема 4.1).

Схема 4.1

Применение нитрометана в качестве третьего компонента позволило бы получить соответствующий хроменоизохинолинамин с нитрометильным заместителем в пирановом кольце **43a** (Схема 4.2). Нами был осуществлен поиск оптимальных условий, приводящих к нитрометил-хроменоизохинолинаминам, и в результате было обнаружено, что наиболее эффективно реакция протекает при последовательном взаимодействии гомофталонитрила **41** с избытком салицилового альдегида в присутствии ацетата аммония в изопропаноле при нагревании до 150°C в микроволновом реакторе в закрытом сосуде, с последующим добавлением нитрометана и триэтиламина и повторном нагреве в течение 10 мин при 150°C.

Использование широкого спектра *о*-гидроксибензальдегидов позволило получить различнозамещенные хроменоизохинолинамины **43a-f** с хорошими выходами (Схема 4.2).

Схема 4.2

Для демонстрации общего характера разработанного подхода далее в качестве нуклеофила нами был использован индол и целевой продукт **44a** был получен с выходом 71% в условиях, приведенных ранее для нитрометана. Эффективными нуклеофилами оказались 6-и 7-азаиндолы, которые давали соответствующие изохинолинамины **44 f,g** с выходами 77 и 69%. Ряд *о*-гидроксибензальдегидов был использован в данном процессе, что привело к соединениям **44 b-е** с высокими выходами (Схема 4.3). Структура соединения **44a** подтверждена методом РСА (Рисунок 4.1).

Рисунок 4.1. Общий вид молекулы 44а в кристалле

Было замечено, что синтезированные хроменоизохинолинамины **44а-g** проявляют флуоресцентные свойства - их растворы под действием УФ-излучения испускают синий свет, поэтому далее были изучены фотофизические свойства некоторых из них, определены максимумы поглощения и эмиссии, осуществлен расчет квантовых выходов.

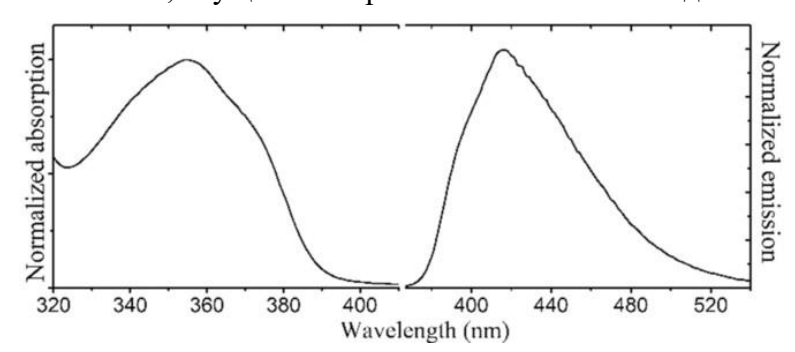


Рисунок 4.2. Спектр поглощения и эмиссии соединения 44а.

Оказалось, что спектры поглощения соединений **44a,d,e,f** и **g** имеют максимумы в 354-355 нм, а спектры эмиссии в 415-416 нм (Рисунок 4.2). Кроме того, интенсивность флуоресценции этих соединений увеличивалась в полярных и протонных растворителях, таких как метанол, и снижалась в хлороформе, ацетонитриле и толуоле. Поэтому измерение квантовых выходов осуществлялось далее в метаноле. В качестве стандарта использовался раствор сульфата хинина. Результаты представлены в Таблице 4.1<sup>1</sup>.

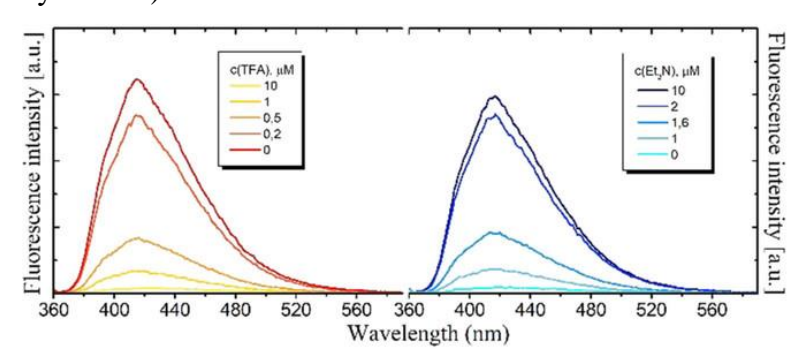
<sup>1</sup> Автор выражает благодарность к.х.н. Голанцову Н.Е. (РУДН) и Зайцевой С.О. (ИБХ РАН) за проведение исследования.

Таблица 4.1. Спектральные свойства хроменоизохинолинаминов в метаноле.

Соединение	Abs (нм), <i>e</i> (моль cм) <sup>-1</sup>	Ет (нм)	FQY (%)
44a	355 (4500)	415	48
44e	354 (6000)	416	58
44d	354 (4500)	416	42
44f	354 (4500)	415	70
44g	354 (4500)	415	57

Abs- максимум поглощения, e- коэффициент экстинкции, Em- максимум испускания, FQY- квантовый выход флуоресценции.

Кроме того, было замечено, что в присутствии кислот происходит тушение флуоресценции, которая может быть восстановлена при добавлении основания. Спектры испускания соединения **44a** в присутствии трифторуксусной кислоты в различных концентрациях позволяют установить, что при 10-ти кратном избытке кислоты происходит полное тушение флуоресценции, а при добавлении триэтиламина её интенсивность восстанавливается (Рисунок 4.3).



**Рисунок 4.3.** Спектры эмиссии соединения **44а** в экспериментах по тушению флуоресценции.

Таким образом, нами был разработан метод синтеза замещенных хроменоизохинолинаминов и изучены фотофизические свойства некоторых из них.

#### Выводы

- 1. Цианометильные производные являются ценными субстратами для дизайна новых домино- и мультикомпонентных процессов.
- 2. Показано, что цианометильные соли изомерных азаиндолов и тиенопридинов в домино-реакции с *о*-гидроксибензальдегидами приводят к соответствующим хромено[2',3':4,5]имидазо[1,2-*a*]пирроло- и хромено[2',3':4,5]имидазо[1,2-*a*]тиенопиридинам.
- 3. Разработан подход к синтезу замещенных по C(12) положению хроменоимидазопиридинов с использованием цианометильных четвертичных солей , *о*гидроксибензальдегидов и различных нуклеофильных агентов в присутствии окислителя.
- 4. Продемонстрировано, что гомофталонитрил может выступать в качестве винилога малононитрила в мультикомпонентных и домино-реакциях получения производных 2-иминохромена.
- 5. Разработан подход к синтезу нитрометил- и индолил-замещенных хроменоизохинолинаминов на основе трехкомпонентной реакции гомофталонитрила, *о*-гидроксибензальдегидов, нитрометана и индола.

### Основное содержание диссертации изложено в следующих работах:

- 1. L.G. Voskressensky, O. A. Storozhenko, A.A. Festa, V.N. Khrustalev, T.T. Anh Dang, V. T. Nguyen, A. V. Varlamov. A novel domino condensation—intramolecular nucleophilic cyclization approach toward annulated imidazo-pyrrolopyridines. // Tetrahedron Letters, Vol. 56, № 46, 2015, P. 6475-6477.
- 2. L.G. Voskressensky, O.A. Storozhenko, A.A. Festa, R.A. Novikov, A.V. Varlamov. Synthesis of Chromenoimidazoles, Annulated with an Azaindole Moiety, through a Base-Promoted Domino Reaction of Cyanomethyl Quaternary Salts. // Synthesis, 2017, Vol. 49 №12, P. 2753-2760.
- 3. A.A. Festa, O.A. Storozhenko, D.R. Bella Ndoutoume, A.V. Varlamov, L.G.Voskressensky. Sequential three-component reaction of homophthalonitrile, salicylaldehydes and nitromethane. // Mendeleev Communications, 2017, Vol. 27, № 5, P. 451-453.
- 4. A.A. Festa, O.A. Storozhenko, N.E. Golantsov, K. Subramani, R.A. Novikov, S.O. Zaitseva, M. S. Baranov, A.V. Varlamov, L.G. Voskressensky. Homophtalonitrile for Multicomponent Reactions: Syntheses and Optical Properties of *o*-Cyanophenyl- or Indol-3-yl-Substituted Chromeno[2,3-*c*]isoquinolin-5- Amines. // ChemistryOpen, 2019, 8, P. 23–30
- 5. O.A. Storozhenko, A.A. Festa, D.R. Bella Ndoutoume, A.V. Aksenov, A.V. Varlamov, L.G. Voskressensky. Mn-mediated sequential three-component domino Knoevenagel/cyclization/Michael addition/ oxidative cyclization reaction towards annulated imidazo[1,2-a]pyridines. // Beilstein J. Org. Chem., 2018, 14, P. 3078–3087.
- 6. О.А. Стороженко, Д.Р. Ндутум Бэлла, А.А. Феста, Truong Hong Hieu, Л.Г. Воскресенский, А.В. Варламов. Четвертичные соли тиенопиридинов в домино-реакции с *о*гидроксибензальдегидами. // Тезисы докладов Первой всероссийской молодежной школыконференции "Успехи синтеза и комплексообразования". Москва, РУДН, 2016, С. 181.
- 7. O.A. Storozhenko, A.A. Festa, M.T. Gorbacheva, L.G. Voskressensky, A.V. Varlamov. Domino transformations of dinitriles under basic conditions. // Тезисы докладов Domay organic conference cluster DOCC-2016. Book of Abstracts, Dombay, 2016, p. 259.
- 8. A.A. Festa, O.A. Storozhenko, D.N. R. Bella, A.V. Varlamov, L.G. Voskressensky. Sequential three-component reaction of homophthalonitrile, *o*-hydroxybenzaldehyde, and nitromethane. // Тезисы конференции The Fourth International Scientific Conference "Advances in Synthesis and Complexing». Book of abstracts, Vol. 1, Moscow, 2017, p. 213.
- 9. Стороженко О.А., Феста А.А., Воскресенский Л.Г., Варламов А.В. Последовательная трехкомпонентная реакция гомофталонирила, *о*-гидроксибензальдегидов и нитрометана. // Тезисы Всероссийской научной конференции с международным участием «Современные проблемы органической химии», посвященной 110-летию со дня рождения академика Николая Николаевича Ворожцова. Новосибирск, 2017, с. 293.

- 10. O.A. Storozhenko, A.A. Festa, L.G. Voskressensky. *N*-Cyanomethyl quaternary salts, *o*-hydroxybenzaldehydes and nucleophiles in synthesis of imidazo[1,2-*a*]pyridines annulated with chromene moiety. // Тезисы конференции 26<sup>th</sup> ISHC Congress, Regensburg, Book of Abstracts, 2017, P. 317.
- 11. О.А.Стороженко, А.А.Феста, Л.Г.Воскресенский. *N*-цианометильные четвертичные соли, *о*-гидроксибензальдегиды и нуклеофильные агенты в синтезе имидазо[1,2-*a*]пиридинов, аннелированных с хроменовым фрагментом. // Материалы конференции XII international scientific conference of postgraduates, masters and young researchers on "Actual Problems Of Chemistry" dedicated to 95th anniversary of national lider Heydar Aliyev. Баку, 2018, с. 14.
- 12. А.С. Голубенкова, Е.А. Соколова, А.А. Феста, О.А. Стороженко. *N* (цианометил)пиридиний хлорид, *о*-гидроксибензальдегиды и СН-кислоты в последовательной трехкомпонентной реакции с окислительным шагом. // Сборник тезисов докладов II Всероссийской школы-конференции, посвященной 100-летию Иркутского государственного университета и 85-летию химического факультета ИГУ БШКХ–2018. Иркутск, 2018, с. 17.

### Стороженко Ольга Анатольевна (Россия)

# Домино-реакции цианометильных производных в синтезе хроменов, аннелированных с имидазопиридиновым или изохинолиновым фрагментами

В работе изучена реакционная способность цианометильных производных, таких как N-цианометильные четвертичные соли изомерных азаиндолов, тиенопиридинов и пиридина, а также гомофталонитрила в домино-реакциях с салициловымии альдегидами. Впервые осуществлен синтез хромено[2',3':4,5]имидазо[1,2-а]пирролохромено[2',3':4,5]имидазо[1,2-а]тиенопиридинов, обладающих антипролиферативной активностью относительно линий клеток KB и HepG2. Было показано, что последовательная четвертичных *N*-цианометильных трехкомпонентная реакция гидроксибензальдегидами и нуклеофилами в присутствии окислителя приводит к ранее не описанным в литературе замещенным по C(12) хромено[2',3':4,5]имидазо[1,2-a]пиридинам. Изучены превращения гомофталонитрила в последовательной трехкомпонентной доминореакции с о-гидроксибензальдегидами и нитрометаном, аза/индолом, в результате чего были получены нитрометил-И флуоресцентные аза/индолил-замещенные хромено[2,3c]изохинолин-5-амины.

## Storozhenko Olga Anatol'evna (Russia)

# Domino reactions of cyanomethyl derivatives in synthesis of chromenes annulated with imidazopyridine and isoquinoline fragments

Reactivity of compounds bearing a cyanomethyl- group such as quaternary N-(cyanomethyl)azaindolium, thienopyridinium, pyridinium salts and homophthalonitrile in domino reactions with o-hydroxybenzaldehydes was studied. Synthesis of chromeno[2',3':4,5]imidazo[1,2a]pyrrolo- and chromeno[2',3':4,5]imidazo[1,2-a]thienopyridines, showing antiproliferative activity against KB and HepG2 cell lines, was realized for the first time. It has been shown, that the sequential three-component reaction of *N*-(cyanomethyl)pyridinium hydroxybenzaldehydes and nucleophiles in the presence of the oxidant results in the formation of substituted at C(12) chromeno[2',3':4,5]imidazo[1,2-a]pyridines which were not described in the literature before. Transformations of homophtalonitrile in sequential three-component dominoreaction with o-hydroxybenzaldehydes and nitromethane, aza/indoles were studied, that resulted in the formation of nitromethyl- and fluorescent aza/indolyl-substituted chromeno[2,3-c]isoquinoline-5-amines.